

## 淬火处理对 $\text{TiO}_2$ 纳米管阵列电极性能影响

田西林 陶杰<sup>\*</sup> 陶海军 包祖国 李转利 张焱焱 汤育欣

(南京航空航天大学材料科学与技术学院, 南京 210016)

**摘要:** 为使  $\text{TiO}_2$  纳米管阵列电极更好地应用于太阳能电池中, 通过恒压阳极氧化法以 0.5%(*w*, 质量分数)  $\text{NH}_4\text{F}$ /甘油作为电解液, 在钛基体上制备出了  $\text{TiO}_2$  纳米管阵列。随后将  $\text{TiO}_2$  纳米管阵列电极在水中进行不同温度淬火处理, 通过 X 射线衍射(XRD)仪、场发射扫描电子显微镜(FESEM)、X 射线光电子能谱(XPS)和循环伏安法(CV)研究经淬火处理的  $\text{TiO}_2$  纳米管阵列的形貌、晶体结构和电化学性能。研究得出  $\text{TiO}_2$  纳米管阵列经淬火处理其表面获得更多  $\text{Ti}^{3+}$  缺陷点和  $\text{TiO}_2$  纳米碎片。经 0 ℃淬火处理的  $\text{TiO}_2$  纳米管阵列电极出现了更多  $\text{Ti}^{3+}$  缺陷点和 OH 基团, 且有更多的纳米碎片出现, 其光电化学性能得到了大幅度提高, 其 40 min 光照对甲基橙的光催化降解率高达 96.2%。

**关键词:** 阳极氧化;  $\text{TiO}_2$  纳米阵列电极; 淬火处理;  $\text{Ti}^{3+}$  缺陷

中图分类号: O646

## Effect of Quenching on Properties of $\text{TiO}_2$ Nanotube Arrays

TIAN Xi-Lin TAO Jie<sup>\*</sup> TAO Hai-Jun BAO Zu-Guo LI Zhan-Li  
ZHANG Yan-Yan TANG Yu-Xin

(College of Material Science and Technology, Nanjing University of Aeronautics and Astronautics, Nanjing 210016, P. R. China)

**Abstract:** To increase the performance of  $\text{TiO}_2$  nanotube array electrodes in solar cells, we prepared self-organized  $\text{TiO}_2$  nanotube arrays on a titanium substrate in 0.5% (*w*, mass fraction)  $\text{NH}_4\text{F}/\text{glycerol}$  by anodic oxidization at a constant potential. The electrodes were then quenched in water at different temperatures. These quenched  $\text{TiO}_2$  nanotube array electrodes were then characterized by X-ray diffraction (XRD), field emission scanning electron microscopy (FESEM), X-ray photoelectron spectroscopy (XPS) and cyclic voltammetry (CV). Experimental results indicated that the quenching process produced many surface defects and also resulted in fragmentation of the  $\text{TiO}_2$  nanotubes. We found that the sample quenched in water at 0 ℃ contained the more  $\text{Ti}^{3+}$  surface defects, OH groups and nanotube fragments. These properties improved its photoelectrochemical performance significantly. This sample resulted in 96.2% photodegradation rate of methyl orange after irradiation for 40 min.

**Key Words:** Anodic oxidation;  $\text{TiO}_2$  nanotube array electrode; Quenching;  $\text{Ti}^{3+}$  defect

纳米  $\text{TiO}_2$  作为一种宽带系的半导体材料具有显著光电响应、良好化学稳定性和绿色环保性, 并在太阳能转换、光催化杀菌及环境污染处理等方面有着广泛用途<sup>[1–4]</sup>。这些独特性能主要取决于纳米  $\text{TiO}_2$  的合成和后处理对其形貌、晶型结构和表面特征的影响。同时, 纳米  $\text{TiO}_2$  电极制备已成为研究热点,

众多研究者利用  $\text{TiO}_2$  粉末在一定条件下的水热合成法制备<sup>[5]</sup> $\text{TiO}_2$  电极。但这种方法不能制备高度有序的  $\text{TiO}_2$  纳米管阵列, 而有序  $\text{TiO}_2$  纳米管阵列结构则是电子的迅速传输的重要通道。近年来, Grimes<sup>[6,7]</sup> 和 Macak<sup>[8–10]</sup> 等人研究了在钛片表面阳极氧化制备高度有序的  $\text{TiO}_2$  纳米管阵列, 纳米管的管长可达数

Received: December 15, 2008; Revised: February 24, 2009; Published on Web: March 26, 2009.

\*Corresponding author. Email: taojie@nuaa.edu.cn; Tel: +8625-84895378; Fax: +8625-52112626.

江苏省自然科学基金(BK2004129)及航空科学基金(04H52059)资助

© Editorial office of Acta Physico-Chimica Sinica

百微米,但并未对  $\text{TiO}_2$  纳米管阵列表面缺陷进行深入的研究。Park 等人<sup>[11]</sup>研究发现,  $\text{TiO}_2$  纳米颗粒表面出现了  $\text{Ti}^{3+}$  缺陷,并发现一定程度上  $\text{Ti}^{3+}$  能阻止表面电子( $e^-$ )和空穴( $h^+$ )的复合,进而大幅度提高  $\text{TiO}_2$  薄膜的光电性能。Chen 等人<sup>[12]</sup>报道了表面诱捕点、 $\cdot\text{OH}$  和表面  $\text{Ti}^{3+}$  对光电性能有着重要关系,在纳米  $\text{TiO}_2$  表面存在一定量的  $\text{Ti}^{3+}$  缺陷点和 OH 基团,能大幅度提高其光电性能。但都未能提供简单有效的方法来增加  $\text{TiO}_2$  纳米管阵列电极表面的  $\text{Ti}^{3+}$  缺陷点和 OH 基团等。本文通过阳极氧化法在 0.5% (*w*)  $\text{NH}_4\text{F}$ /甘油电解液中制备出高度有序和较长管长的  $\text{TiO}_2$  纳米管阵列电极。同时我们试图通过不同的淬火温度处理  $\text{TiO}_2$  纳米管阵列电极,以期望在纳米管的表面获得  $\text{Ti}^{3+}$  的缺陷,并增加其表面羟基数量,进而提高  $\text{TiO}_2$  纳米管阵列电极的光电化学性能,以达到提高染料敏化太阳能电池性能的目的。

## 1 实验方法

### 1.1 $\text{TiO}_2$ 纳米管阵列电极的制备

实验采用纯度为 99.6% 的钛箔,将尺寸为 25 mm×30 mm×0.1 mm 试样片先进行丙酮超声化学除油,再在  $\text{HF}/\text{HNO}_3/\text{H}_2\text{O}$ (体积比为 1:4:5)的抛光液中抛光,经抛光后的试样用二次蒸馏水冲洗、吹干、备用。

纳米管阵列制备实验中选用恒压直流阳极氧化法,经前处理的钛箔试样片为阳极,Pt 为阴极,两电极间距 5 cm,以 0.5% (*w*) 的  $\text{NH}_4\text{F}$ /甘油为电解液,试样阳极氧化时间为 20 h,电压为直流 20 V,整个阳极氧化过程在室温(25 ℃左右)下进行,且伴随磁力搅拌。

### 1.2 淬火处理 $\text{TiO}_2$ 纳米管阵列电极及性能测试

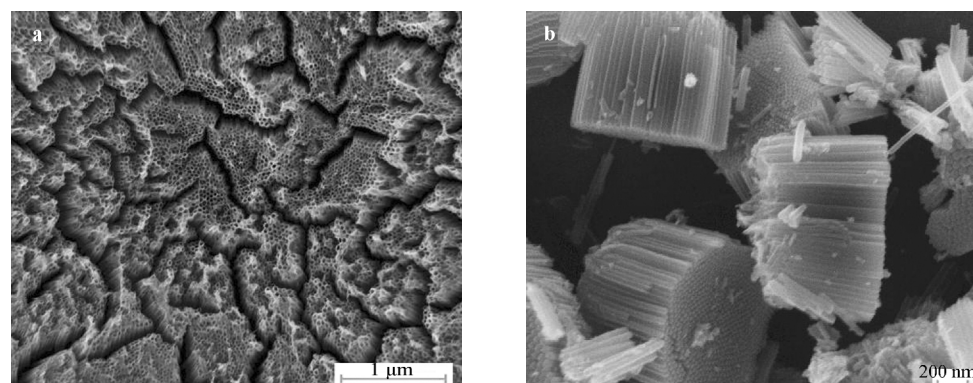


图 1 0.5% (*w*)  $\text{NH}_4\text{F}$ /甘油电解液中通过阳极氧化法制备的  $\text{TiO}_2$  纳米管阵列形貌的 FESEM 图

Fig.1 FESEM photographs of  $\text{TiO}_2$  nanotube arrays prepared by anodic oxidation in 0.5% (*w*)  $\text{NH}_4\text{F}$  glycerin  
(a) top view, (b) cross-section view; oxidation voltage: 20 V; oxidation time: 20 h

将阳极氧化后的试样在室温下冲洗、冷风吹干后放于马弗炉中,以  $10 \text{ }^\circ\text{C} \cdot \text{min}^{-1}$  速率升温至 450  $^\circ\text{C}$  后,保温 2 h。然后迅速取出马弗炉中的试样,在室温或 0  $^\circ\text{C}$  冰水混合液中淬火,淬火后室温晾干。为对比试验,将另外一些试样以  $3 \text{ }^\circ\text{C} \cdot \text{min}^{-1}$  速率升温至 450  $^\circ\text{C}$  后保温 3 h,最后随炉冷却至室温,取出备用。

$\text{TiO}_2$  纳米管阵列形貌和晶型结构分别利用 LEO-1530VP 场发射扫描电镜和 BrukerD-8 型 X 射线衍射仪来观察和表征;对淬火处理的  $\text{TiO}_2$  纳米管阵列电极表面元素通过 X 射线电子能谱(XPS)分析,其稳态循环伏安曲线通过 CHI600C 型电化学工作站进行测试。采用三电极体系:Pt 为辅助电极,  $\text{TiO}_2$  纳米管阵列电极(面积约为 1  $\text{cm}^2$ )为工作电极,饱和甘汞电极(SCE)为参比电极,文中所测得电位均相对于此 SCE,工作电极为  $\text{TiO}_2$  电极以  $5 \text{ mV} \cdot \text{s}^{-1}$  的速率进行扫描。试样置于自制的光催化反应器中进行光催化测试<sup>[13]</sup>。热处理后的  $\text{TiO}_2$  纳米管阵列电极置于盛有 25 mL 浓度为 6  $\text{mg} \cdot \text{L}^{-1}$  的甲基橙溶液的石英反应器中,将 300 W 主波长为 365 nm 的高压汞灯垂直放于双壁 U 形石英冷却套管中,整个实验在室温下进行。测试方法为,隔一定的光照时间将甲基橙溶液取出,采用 6010 紫外-可见分光光度计测定该甲基橙在最大吸收波长(463.5 nm)处的吸光度 A,根据 Lambert-Beer 定律<sup>[14]</sup>计算降解率。

## 2 结果与讨论

### 2.1 $\text{TiO}_2$ 纳米管阵列电极的形貌观察

图 1 为在  $\text{NH}_4\text{F}$ /甘油电解液体系中,氧化电压 20 V,氧化时间 20 h 的条件下形成的  $\text{TiO}_2$  纳米管阵列。由图 1a 可见,  $\text{TiO}_2$  纳米管阵列管长为 1–3  $\mu\text{m}$ ,纳米管一端开口,另一端封闭,且管长和管径均

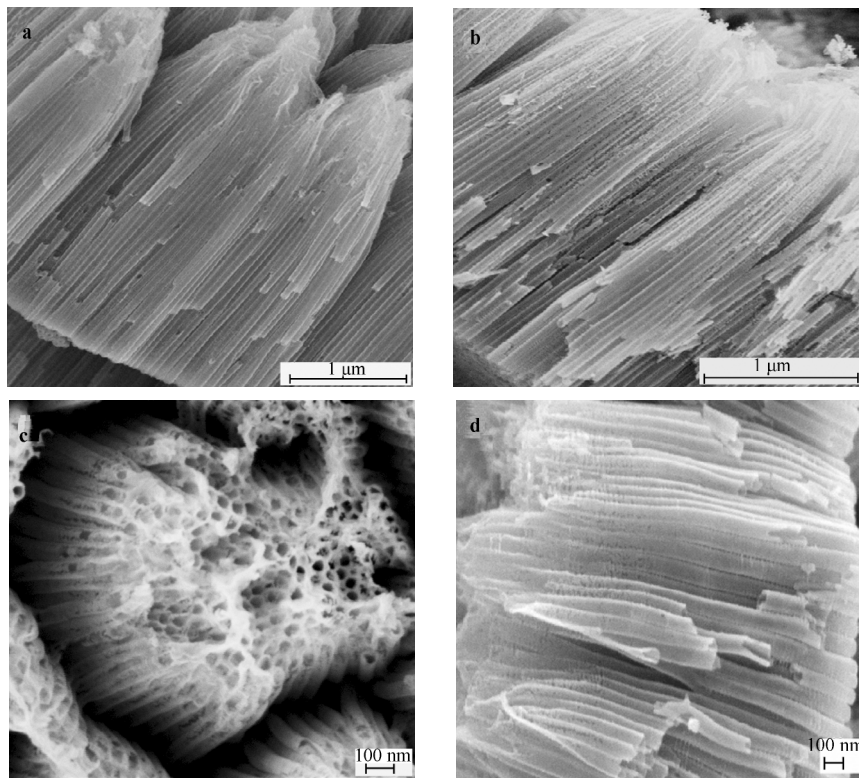


图 2 通过阳极氧化法制备的  $\text{TiO}_2$  纳米管阵列经热处理后形貌的 FESEM 图

Fig.2 FESEM photographs of  $\text{TiO}_2$  nanotube arrays prepared by anodic oxidation after heat treatment

(a) annealing at 450 °C, (b) quenching at 0 °C from cross-section view, (c) quenching at 0 °C from top view, (d) quenching at room temperature

匀, 管壁光滑平整。由图 1b 可见,  $\text{TiO}_2$  纳米管分布整齐, 管径大约 50–110 nm。由阳极氧化制备纳米管阵列原理可知<sup>[15]</sup>, 粘度较大(与水介质体系相比)的甘油使得纳米管生长和溶解速度达到平衡所需的时间变长, 为纳米管生长提供更长的时间; 且粘度较大的甘油降低了反应产生的氢离子迁移速率, 在管末端及管与管之间被溶解的区域始终保持了较大的酸度, 因而制得的纳米管阵列之间无交联, 管壁平滑。

## 2.2 热处理的 $\text{TiO}_2$ 纳米管阵列电极形貌与性能表征

### 2.2.1 热处理的 $\text{TiO}_2$ 纳米管阵列电极的形貌和晶体结构

$\text{TiO}_2$  纳米阵列电极经淬火处理和 450 °C 退火处理后的形貌如图 2 所示。由图 2a 中可见, 经 450 °C 退火处理的  $\text{TiO}_2$  纳米阵列仍保持整齐的阵列形状, 纳米管的平均孔径也无变化, 且管壁仍然光滑平整, 没有出现纳米管破碎现象。图 2(b, c)所示经淬火处理的纳米管阵列出现了明显的破碎, 纳米管管壁出现孔洞, 管壁的破碎从纳米管开口处向管底延伸大约 1000 nm。破碎的纳米管使纳米管之间的连通更加通畅。在  $\text{TiO}_2$  纳米阵列开口端出现严重的纳米碎片, 一部分纳米碎片掉落在纳米管中, 形成了  $\text{TiO}_2$

纳米管阵列和纳米  $\text{TiO}_2$  颗粒的复合体。图 2(b, c, d) 中, 0 °C 淬火处理的纳米管破碎程度比室温下淬火处理的严重, 可以初步得出, 淬火温度越低, 纳米管的破碎程度越严重。

图 3 是  $\text{TiO}_2$  纳米管阵列在 450 °C 退火处理、室温和 0 °C 水中淬火处理的晶相 XRD 图谱, 在  $2\theta$  为 25.36° 和 48.18° 处出现锐钛矿型  $\text{TiO}_2$  晶型的衍射特征。

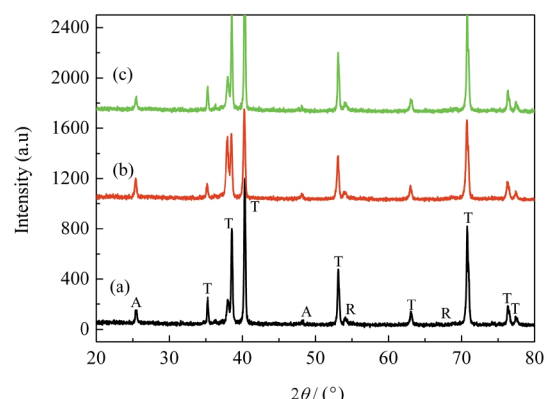


图 3 热处理后的  $\text{TiO}_2$  纳米管阵列 XRD 图谱

Fig.3 XRD patterns of the  $\text{TiO}_2$  nanotube arrays electrode after heat treatment

(a) quenching in water at 0 °C, (b) quenching in water at room temperature,  
(c) annealing at 450 °C; A: anatase, R: rutile, T: Ti substrate

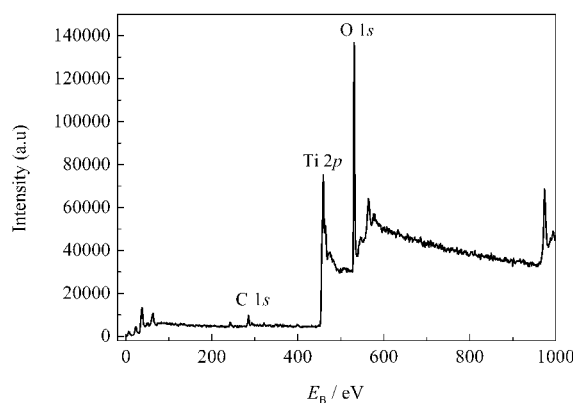


图 4  $\text{TiO}_2$  纳米管阵列 0 ℃淬火后的 XPS 全扫描图谱  
Fig.4 Overview X-ray photoelectron spectrum in the case of  $\text{TiO}_2$  nanotube arrays quenched in water at 0 ℃

征峰。经过淬火处理与 450 ℃退火的纳米管阵列在晶体结构上没有变化, 都保持了锐钛矿和金红石的混晶结构, 且锐钛矿和金红石相的  $\text{TiO}_2$  纳米管薄膜中锐钛矿的质量分数可以用公式(1)计算<sup>[16]</sup>:

$$w_A = \left[ 1 + \frac{1.265I_R}{I_A} \right]^{-1} \quad (1)$$

式中,  $I_R$  为金红石相最强峰强度,  $I_A$  为锐钛矿相最强峰强度。计算结果表明, 在 450 ℃退火处理、室温和 0 ℃水中淬火处理试样中, 锐钛矿相  $\text{TiO}_2$  含量分别为 24.85%、24.53% 和 25.62%。由此可以得出锐钛矿和金红石的混晶结构是由热处理温度决定, 与随后冷却方式无关。结合本小组前期的研究<sup>[17]</sup>, 未经热处理的  $\text{TiO}_2$  纳米管阵列为无定型状态, 当温度在 280 ℃处发生锐钛矿型转化, 如提升温度至 450 ℃左右, 金红石型的晶体结构也将出现, 因而本实验条件下经 450 ℃淬火处理的  $\text{TiO}_2$  纳米管阵列仍保持了锐钛矿和金红石的混晶结构。

## 2.2.2 $\text{TiO}_2$ 纳米管阵列电极的表面化学组成分析

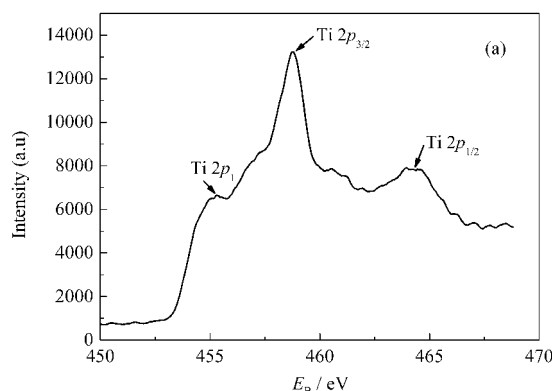


图 5 经淬火处理  $\text{TiO}_2$  纳米管阵列的 Ti 2p (a) 和 O 1s (b) 的 XPS 图谱  
Fig.5 XPS spectra of Ti 2p (a) and O 1s (b) of  $\text{TiO}_2$  nanotube arrays quenched in water

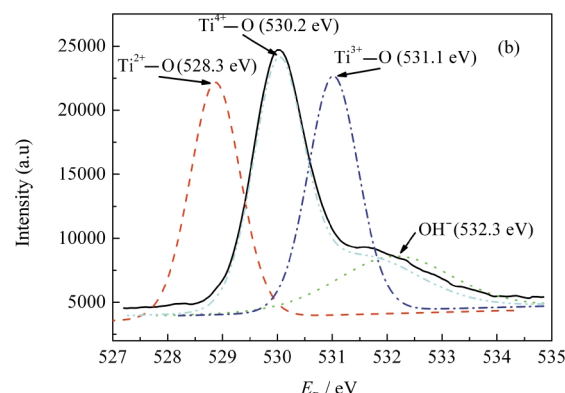
经淬火处理后  $\text{TiO}_2$  纳米管阵列的 XPS 图谱(见图 4)。XPS 分析表面深度为 0.5–3.0 nm, 纳米管阵列电极表面主要由 Ti 和 O 元素(C 元素来自 XPS 本身油污染)。

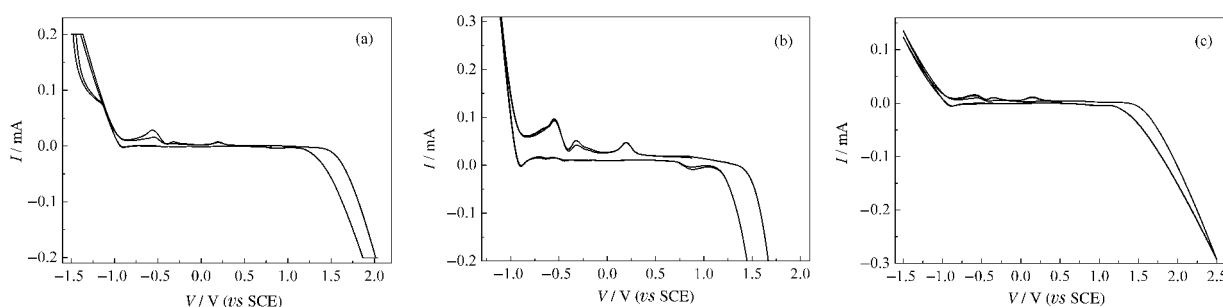
图 5(a) 为薄膜中 Ti 2p 的高分辨扫描 XPS 谱图。由图 5(a) 可知, Ti 2p 峰由  $\text{Ti } 2p_{1/2}$ 、 $\text{Ti } 2p_{3/2}$  和  $\text{Ti } 2p_{3/2}$  三肩峰组成, 其中  $\text{Ti } 2p_{1/2}$  和  $\text{Ti } 2p_{3/2}$  的结合能差值  $\Delta E_b = E_b(\text{Ti } 2p_{1/2}) - E_b(\text{Ti } 2p_{3/2})$  接近 5.7 eV, 与文献报道<sup>[18]</sup> 的相同。 $\text{Ti } 2p_{3/2}$  和  $\text{Ti } 2p_{1/2}$  的峰分别在 458.73 和 464.41 eV, 说明  $\text{TiO}_2$  薄膜中 Ti—O 之间价键结构为  $\text{TiO}_2$  和  $\text{Ti}_2\text{O}_3$ , 但是  $\text{Ti } 2p_{3/2}$  谱峰的半高宽为 1.12 eV, 高于标准的单晶  $\text{TiO}_2$  的  $\text{Ti } 2p_{3/2}$  谱峰的半高宽 (1.1 eV)<sup>[19]</sup>, 说明  $\text{TiO}_2$  纳米管阵列中存在非晶态  $\text{TiO}_2$ 。同时发现在 455.9 eV 处出现了 Ti—O 的峰, 可得出  $\text{TiO}_2$  纳米管阵列有  $\text{TiO}$  存在。纳米管薄膜的晶体结构中存在大量的  $\text{Ti}^{3+}$  缺陷点, 这是由于高温下急剧冷却抑制了晶体生长, 易形成更多的晶界和缺陷, 进而出现  $\text{Ti}^{3+}$  缺陷点。

由图 5(b) 可知, 经淬火处理后的  $\text{TiO}_2$  纳米管阵列表面 O 1s 的拟合图谱为三个峰, 每个峰代表不同物质中的 O 1s。由于 O 1s 峰不对称, 能判断出试样表面存在不同氧元素的化学态, 即 528.3 eV( $\text{Ti}^{2+}$ —O), 530.2 eV( $\text{Ti}^{4+}$ —O), 531.1 eV( $\text{Ti}^{3+}$ —O) 和 532.3 eV(O—H)<sup>[20,21]</sup>。

## 2.2.3 $\text{TiO}_2$ 纳米管阵列电极的循环伏安曲线

450 ℃退火处理和淬火处理后电极的循环伏安曲线如图 6 所示, 当在负电位区域(-1.5 V 到 -0.5 V) 扫描时, 由于电极存在  $\text{Ti}(\text{III})$  缺陷, 出现了  $\text{Ti}^{3+} \rightarrow \text{Ti}^{4+}$  的反应峰的第一个氧化峰(-0.5 V 到 -0.75 V 电位范围), 且形成阳极电流。随扫描电位的增加, 由于电极表面双电层的产生, 电流逐渐降低最终达到稳定;



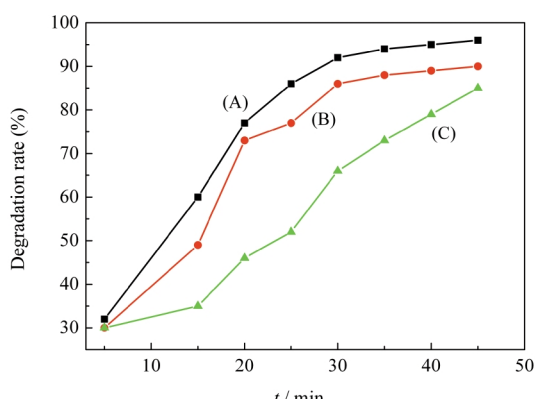
图 6 淬火处理后  $\text{TiO}_2$  纳米管阵列电极的循环伏安曲线Fig.6 Cyclic Voltammetric curves for the  $\text{TiO}_2$  nanotube array electrode after quenching

(a) quenching in water at room temperature, (b) quenching in water at 0 °C, (c) annealing at 450 °C

第二个氧化峰(+0.15 V 到+0.5 V 电位范围)发生的氧化反应为  $\text{OH}^- + \text{h}^+ \rightarrow \cdot\text{OH}$ , 因此电极表面产生羟基自由基。室温淬火处理(图 6(a))及 0 °C 淬火处理(图 6(b))比450 °C 退火处理(图6(c))的第二氧化峰的极化电流分别增加约 0.3 和 0.8 mA, 且其极化电位分别降低约 1.0 和 1.2 V. 氧化峰的极化电流的增高和极化电位的降低, 使得电极活性增强, 所以有效地调节淬火温度能提高电极活性。

在电位极化过程中, 当极化电位高于半导体禁带带宽时,  $\text{TiO}_2$  表面就产生电子和空穴对。由于淬火处理能有效增加  $\text{TiO}_2$  纳米管阵列表面  $\text{Ti}^{3+}$  缺陷,  $\text{Ti}^{3+}$  能在一定程度上阻止表面  $e^-$  和  $\text{h}^+$  的复合, 也能使得第一和第二氧化反应的极化电位降低;  $\text{TiO}_2$  纳米管阵列管壁的孔洞, 增强了各个纳米管之间的连通, 使得电子-空穴在各管之中的传输加快, 电化学性能得以提高。

在我们的研究中, 从 XPS 测试中发现, 淬火处理后  $\text{TiO}_2$  纳米管表面出现  $\text{Ti}^{3+}$  缺陷点和 OH 基团。

图 7  $\text{TiO}_2$  纳米管阵列电极的光催化性能Fig.7 Photocatalytic ability of  $\text{TiO}_2$  nanotube array electrode

(A) quenching in water at 0 °C, (B) quenching in water at room temperature, (C) annealing at 450 °C

经循环伏安曲线发现其电化学性能有了很大提高。淬火温度越低, 表面  $\text{Ti}^{3+}$  缺陷点和 OH 基团越多, 其电极活性则越高。这是因为在急冷条件下  $\text{TiO}_2$  表面保持了更多的高温时候的缺陷, 形成表面  $\text{Ti}^{3+}$  缺陷点, 增加了表面 OH 基团的数量, 且一定量  $\text{Ti}^{3+}$  降低了电子和空穴的复合几率, 加快了电子的分离。

### 2.3 淬火处理 $\text{TiO}_2$ 纳米管阵列电极的光催化性能

结合图 6 的 CV 图谱, 对 20 V 电压下氧化 20 h 的纳米管阵列选取 0 °C 水淬火处理、室温水淬火处理和 450 °C 退火处理后的试样进行光催化试验。

图 7 是  $\text{TiO}_2$  纳米管阵列电极的光催化性能, 随着光催化时间的延长, 450 °C 退火、室温淬火处理和 0 °C 淬火处理的降解能力依次增强。0 °C 水中淬火处理的  $\text{TiO}_2$  纳米管阵列电极 40 min 内对甲基橙降解率高达 96.2%。这是因为光生电子不断地被水中氧分子俘获, 表面存在大量  $\text{Ti}^{3+}$  缺陷点, 加快了生成具有高活性羟基自由基( $\cdot\text{OH}$ )的速率; 破碎的纳米管增大了甲基橙与  $\text{TiO}_2$  纳米管阵列的接触面积, 使得更多的甲基橙与纳米管相接触, 并且相互连通的  $\text{TiO}_2$  纳米管加快了电子的传输, 增加了表面活性基团( $\cdot\text{OH}$ )的数量, 因而, 光催化降解速率迅速升高。

## 3 结 论

(1) 在 0.5% (w)  $\text{NH}_4\text{F}$ /甘油电解液中制得高度有序、管长为 1–3  $\mu\text{m}$  和管径 50–110 nm 的  $\text{TiO}_2$  纳米管阵列。由于无定型的  $\text{TiO}_2$  纳米管阵列的晶体转变只与热处理的温度有关, 而与随后的冷却方式无关, 因此经室温淬火处理、0 °C 淬火处理和退火处理的  $\text{TiO}_2$  纳米管阵列不改变其锐钛矿相和金红石相的混晶结构。

(2) 淬火处理使  $\text{TiO}_2$  纳米管阵列电极出现纳米级破碎, 管壁出现孔洞。孔洞的出现连通了纳米管,

提高了纳米管之间的相互连通性,使得电子和空穴的传输加快。此外,经淬火处理的TiO<sub>2</sub>纳米管阵列表面出现了Ti<sup>3+</sup>缺陷点和OH基团。

(3)淬火处理使TiO<sub>2</sub>纳米管阵列电极的电化学性能提高,0℃水中淬灭处理的TiO<sub>2</sub>纳米管阵列电极比450℃退火处理的自由·OH氧化峰的极化电流峰值增加了0.8 mA,且极化电位降低了1.2 V,这些性能的改变使其40 min内甲基橙光降解率增至96.2%。

## References

- 1 Tang, Y. X.; Tao, J.; Tao, H. J.; Wu, T.; Wang, L.; Zhang, Y. Y.; Li, Z. L.; Tian, X. L. *Acta Phys. -Chim. Sin.*, **2008**, *24*(6): 1120 [汤育欣,陶杰,陶海军,吴涛,王玲,张焱焱,李转利,田西林.物理化学学报,2008,24(6): 1120]
- 2 O'Regan, B.; Gratzel, M. *Nature*, **1991**, *353*(4): 737
- 3 Mor, G. K.; Shankar, K.; Paulose, M.; Varghese, O. K.; Grimes, C. A. *Nano Letters*, **2006**, *6*(2): 215
- 4 Sun, L.; Zuo, J.; Lai, Y. K.; Nie, C. G.; Lin, C. J. *Acta Phys. -Chim. Sin.*, **2007**, *23*(10): 1063 [孙岚,左娟,赖跃坤,聂茶庚,林昌健.物理化学学报,2007,23(10): 1063]
- 5 Kim, C. S.; Moon, B. K.; Park, J. H.; Chung, S. T.; Son, S. M. *J. Cryst. Growth*, **2003**, *254*(3-4): 405
- 6 Paulose, M.; Shankar, K.; Varghese, O. K.; Mor, G. K.; Hardin, B.; Grimes, C. A. *Nanotechnology*, **2006**, *16*(5): 1446
- 7 Mor, G. K.; Varghese, O. K.; Paulose, M.; Shankar, K.; Grimes, C. A. *Solar Energy Materials and Solar Cells*, **2006**, *90*(14): 2011
- 8 Macak, J. M.; Aldabergerova, S.; Ghicov, A.; Schmuki, P. *Phys. Stat. Sol.*, **2006**, *203*(10): 67
- 9 Macak, J. M.; Tsuchiy, H.; Taveira, L. *Angew Chem. Int. Ed.*, **2005**, *44*(45): 7463
- 10 Macak, J. M.; Schmuki, P. *Electrochim. Acta*, **2006**, *52*(3): 1258
- 11 Park, D. R.; Zhang, J.; Ikeue, K.; Yamashita, H.; Anpo, M. *J. Catal.*, **1999**, *185*(1): 114
- 12 Chen, X. Q.; Liu, H. B.; Gu, G. B. *Mater. Chem. Phys.*, **2005**, *91*(2-3): 317
- 13 Tao, H. J.; Qin, L.; Wang, L.; Tao, J. *The Chinese Journal of Nonferrous Metals*, **2007**, *17*(5): 693 [陶海军,秦亮,王玲,陶杰.中国有色金属学报,2007,17(5): 693]
- 14 Leng, W.; Liu, H.; Cheng, S.; Zhang, J. Q.; Cao, C. N. *Journal of Photochemistry and Photobiology A-Chemistry*, **2000**, *131*(1-3): 125
- 15 Macak, J. M.; Tsuchiya, H.; Schmuki, P. *Angew Chem. Int. Ed.*, **2005**, *44*(14): 2100
- 16 Mardare, D.; Tasca, M.; Delibas, M. *Appl. Surf. Sci.*, **2000**, *156*(1-4): 200
- 17 Tao, H. J. Ph. D. Dissertation. Nanjing: Nanjing University of Aeronautics and Astronautics, 2007 [陶海军.博士学位论文.南京:南京航空航天大学,2007]
- 18 Kern, T. B. S.; Yang, Y. Z.; Glover, R.; Ong, J. L. *Implant Dentistry*, **2005**, *14*(1): 70
- 19 Yu, J. G.; Zhao, X. J.; Zhao, Q. N. *Thin Solid Films*, **2000**, *379*(1-2): 7
- 20 Stefanov, P.; Shipochka, M.; Stefchev, P.; Raicheva, Z.; Lazarova, V.; Spassov, L. *Journal of Physics*, **2008**, *17*(13): 2039
- 21 Kumar, P. M.; Badrinarayanan, S.; Sastry, M. *Thin Solid Films*, **2000**, *358*(1-2): 122